

Jan FEDOROWICZ

IZOTROPOWA TARCZA NIEOGRANICZONA  
SPRĘŻONA KABLEM ZAKRZYWIONYM

**Streszczenie.** W pracy rozpatruje się izotropową tarczę nieograniczoną obciążoną oddziaływaniem sprężonego kabla zakrzywionego. Podano wzory w postaci zamkniętej na składowe tensora naprężenia i wektora przemieszczenia dla przypadku sprężenia tarczy nieograniczonej odcinkiem kabla o trasie kołowej.

1. Wstęp

W pracy [2] rozpatrzono szczególne przypadki obciążenia izotropowej tarczy nieograniczonej, dla których podano w zamkniętej postaci wzory na składowe tensora naprężenia i wektora przemieszczenia.

W niniejszej pracy wykorzystano wyniki podane w [2] do zbudowania rozwiązania tarczy nieograniczonej obciążonej oddziaływaniem sprężonego odcinka kabla o trasie kołowej.

2. Założenia

Rozpatrzmy nieograniczoną tarczę izotropową o stałej grubości  $h$ , wykonaną z materiału liniowo sprężystego, której płaszczyzna środkowa sparametryzowana jest ortokartezjańskim układem współrzędnych. Obciążenie tarczy stanowi oddziaływanie odcinka kabla sprężającego o trasie kołowej.

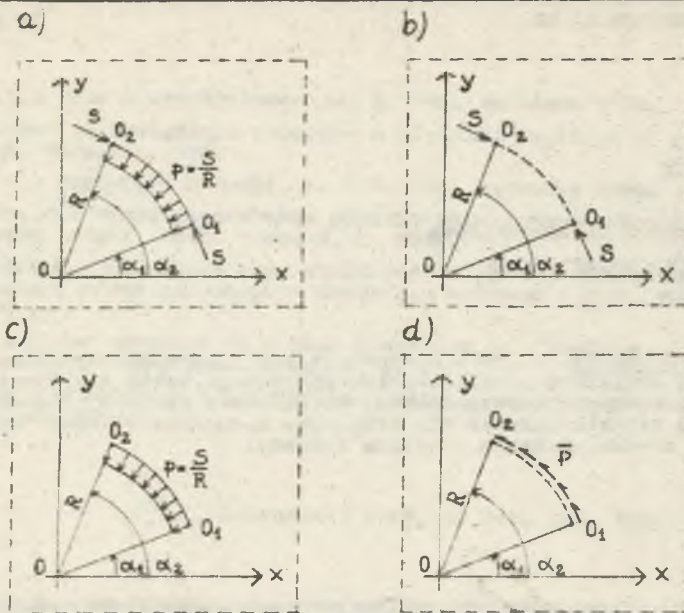
Promień trasy wynosi  $R$ , a środek okręgu znajduje się w początku układu współrzędnych (rys. 2.1a).

Stan naprężenia i przemieszczenia wywołany powyższym obciążeniem określić można drogą superpozycji stanów dla dwóch przypadków obciążenia:

I) siłami skupionymi (rys. 2.1b) - odpowiednie naprężenia i przemieszczenia oznaczono przez  $\sigma_{xx}^b, \sigma_{xy}^b, \sigma_{yy}^b, u^b, v^b$ .

II) równomiernym naciskiem radialnym (rys. 2.1c) - naprężenia i przemieszczenia oznaczono przez  $\sigma_{xx}^R, \sigma_{xy}^R, \sigma_{yy}^R, u^R, v^R$ .

Dla oceny wpływu sił tarcia kabla o materiał tarczy rozpatrzono niezależnie przypadek obciążenia równomiernego  $\bar{p}$  stycznego do trasy kabla (rys. 2.1d) - odpowiednie naprężenia i przemieszczenia oznaczono przez  $\sigma_{xx}^S, \sigma_{xy}^S, \sigma_{yy}^S, u^S, v^S$ .



Rys. 2.1

### 3. Rozwiązania składowe

#### 3.1. Obciążenie siłami skupionymi

Stan naprężeń i przemieszczeń dla obciążenia wg rys. 2.1b otrzymamy drogą superpozycji stanów wywołanych siłą skupioną  $S$ , przyłożoną kolejno w punktach  $O_1$  i  $O_2$ . Dokonując transformacji współrzędnych we wzorach na składowe tensora naprężenia i wektora przemieszczenia dla obciążenia siłą skupioną, przyłożoną w początku układu współrzędnych (rozwiązania podane, np. w [3], [4] a także [2] otrzymamy):

$$\sigma_{xx}^b = \frac{S}{4\pi h} \left[ (3+\nu)(a_1 \sin \alpha_1 - b_1 \sin \alpha_2) + (1-\nu)(a_3 \cos \alpha_1 - b_3 \cos \alpha_2) - 2(1+\nu)(a_4 \cos \alpha_1 + a_2 \sin \alpha_1 - b_4 \cos \alpha_2 - b_2 \sin \alpha_2) \right], \quad (3.1)$$

$$\sigma_{xy}^b = \frac{S}{4\pi h} \left[ (1-\nu)(a_3 \sin \alpha_1 - a_1 \cos \alpha_1 + b_1 \cos \alpha_2 - b_3 \sin \alpha_2) + 2(1+\nu)(a_4 \sin \alpha_1 - a_2 \cos \alpha_1 + b_2 \cos \alpha_2 - b_4 \sin \alpha_2) \right], \quad (3.2)$$

$$\delta_{yy}^b = \frac{S}{4\pi h} \left[ (3+\nu)(b_3 \cos \alpha_2 - a_3 \cos \alpha_1) + (1-\nu)(b_1 \sin \alpha_2 - a_1 \sin \alpha_1) - \right. \\ \left. - 2(1+\nu)(b_4 \cos \alpha_2 + b_2 \sin \alpha_2 - a_4 \cos \alpha_1 - a_2 \sin \alpha_1) \right], \quad (3.3)$$

$$u^b = \frac{S}{4\pi h E} \left[ (1+\nu)^2 (a_5 \cos \alpha_1 - b_5 \cos \alpha_2) + \frac{(y-\bar{y}_0)^2}{r_1^2} \sin \alpha_1 - \frac{(y-\bar{y}_0)^2}{r_2^2} \sin \alpha_2 \right. \\ \left. + (3-\nu)(1+\nu) \left( \sin \alpha_1 \ln \frac{r_1}{\lambda} - \sin \alpha_2 \ln \frac{r_2}{\lambda} \right) \right] - \bar{u}^b(0,0), \quad (3.4)$$

$$v^b = \frac{S}{4\pi h E} \left[ (1+\nu)^2 (b_5 \sin \alpha_2 - a_5 \sin \alpha_1) + \frac{(x-\bar{x}_0)^2}{r_2^2} \cos \alpha_2 - \frac{(x-\bar{x}_0)^2}{r_1^2} \cos \alpha_1 \right. \\ \left. + (3-\nu)(1+\nu) \left( \cos \alpha_2 \ln \frac{r_2}{\lambda} - \cos \alpha_1 \ln \frac{r_1}{\lambda} \right) \right] - \bar{v}^b(0,0); \quad (3.5)$$

gdzie:

$$\bar{x}_0 = R \cos \alpha_1,$$

$$\bar{y}_0 = R \sin \alpha_1,$$

$$\bar{x}_0 = R \cos \alpha_2,$$

$$\bar{y}_0 = R \sin \alpha_2,$$

$$r_1^2 = (x-\bar{x}_0)^2 + (y-\bar{y}_0)^2,$$

$$r_2^2 = (x-\bar{x}_0)^2 + (y-\bar{y}_0)^2,$$

$$a_1 = \frac{x-\bar{x}_0}{r_1^2},$$

$$a_2 = \frac{(x-\bar{x}_0)(y-\bar{y}_0)^2}{r_1^4}$$

$$a_3 = \frac{y-\bar{y}_0}{r_1^2},$$

$$a_4 = \frac{(x-\bar{x}_0)^2(y-\bar{y}_0)}{r_1^4},$$

$$a_5 = \frac{(x-\bar{x}_0)(y-\bar{y}_0)}{r_1^2}$$

$$b_1 c = \frac{x-\bar{x}_0}{r_2^2},$$



$$b_2 = \frac{(x - \bar{x}_0)(y - \bar{y}_0)^2}{r_2^4}$$

$$b_3 = \frac{y - \bar{y}_0}{r_2^2}$$

$$b_4 = \frac{(x - \bar{x}_0)^2 (y - \bar{y}_0)}{r_2^4}$$

$$b_5 = \frac{(x - \bar{x}_0)(y - \bar{y}_0)}{r_2^2}$$

$$u^b(0,0) = \frac{-pR(1+\nu)}{4\pi hE} \left[ (3-\nu) \ln \frac{R}{A} + 1 + \nu \right] (\sin\alpha_2 - \sin\alpha_1)$$

$$v^b(0,0) = \frac{pR(1+\nu)}{4\pi hE} \left[ (3-\nu) \ln \frac{R}{A} + 1 + \nu \right] (\cos\alpha_2 - \cos\alpha_1),$$

$h$  - grubość tarczy,

$E, \nu$  - stałe materiałowe tarczy,

$A$  - rzędna punktów  $(0, \pm A)$ , dla których przyjęto, że  $u(0, \pm A) = 0$ .

### 3.2. Obciążenie radialne i styczne

Obciążenie radialne wg rys. 2.1c otrzymać możemy jako sumę dwóch obciążeń:

poziomego rozłożonego wg funkcji  $p_x = -p \cos \alpha$   
i pionowego rozłożonego wg funkcji  $p_y = -p \sin \alpha$

Dla przypadku obciążenie poziomego  $p_x = -p \cos \alpha$  rozwiązanie podano w pracy [2] (wzory (4.19) do (4.33)).

Wzory na składowe tensora naprężenia i wektora przemieszczenia dla obciążenia działającego pionowo wg funkcji  $p_1 = -p \sin \alpha$  otrzymamy z wyżej wymienionych wzorów, dokonując cyklicznej zamiany zmiennych. W sposób analogiczny obciążenie styczne wg rys. 2.1d, uważać można za sumę obciążenia poziomego  $\bar{p}_x = -\bar{p} \sin \alpha$  i pionowego  $\bar{p}_y = \bar{p} \cos \alpha$ . Rozwiązanie tarczy dla obciążenia poziomego  $\bar{p}_x = -\bar{p} \sin \alpha$  podano w pracy [2] (wzory (4.4) do (4.18)), a dla obciążenia  $\bar{p}_y = \bar{p} \cos \alpha$  otrzymamy je, dokonując w wymienionych wzorach cyklicznej zamiany zmiennych.

Pomijając kolejne przekształcenia poniżej przedstawiono wyniki końcowe przeprowadzonej superpozycji.

Wprowadźmy oznaczenia pomocnicze:

$$r_0^2 = x^2 + y^2,$$

$$d = x^2 - y^2,$$

$$\Delta = 4(x^2 + y^2 - R^2)^2,$$

$$a = x^2 + y^2 + R^2 + 2xR,$$

$$b = x^2 + y^2 + R^2,$$

$$c = x^2 + y^2 + R^2 - 2xR,$$

$$q_2 = Q_1 = \frac{1}{2} \alpha_2 - \frac{1}{2} \alpha_1,$$

$$Q_2 = \arctg \frac{a \sin \frac{\alpha_2}{2} - 2yR \cos \frac{\alpha_2}{2}}{\cos \frac{\alpha_2}{2} (x^2 + y^2 - R^2)} - \arctg \frac{a \sin \frac{\alpha_1}{2} - 2yR \cos \frac{\alpha_1}{2}}{\cos \frac{\alpha_1}{2} (x^2 + y^2 - R^2)}$$

$$Q_3 = \ln \frac{r_1}{r_2},$$

$$q_3 = Q_4 = \cos^2 \frac{\alpha_2}{2} - \cos^2 \frac{\alpha_1}{2},$$

$$q_4 = Q_5 = 0.5(\sin \alpha_2 - \sin \alpha_1),$$

$$Q_6 = \frac{\cos^2 \frac{\alpha_2}{2}}{r_2^2} - \frac{\cos^2 \frac{\alpha_1}{2}}{r_1^2},$$

$$Q_7 = \frac{\sin \alpha_2}{2r_2^2} - \frac{\sin \alpha_1}{2r_1^2},$$

$$q_1 = \ln \frac{a \sin \alpha_1 - 4yR \cos^2 \frac{\alpha_1}{2}}{a \sin \alpha_2 - 4yR \cos^2 \frac{\alpha_2}{2}}$$

W przypadku obciążenia radialnego (rys. 2.1c) otrzymamy:

1<sup>o</sup> dla punktów płaszczyzny spełniających warunki  $x^2 + y^2 \neq R^2$  i  $x^2 + y^2 > 0$ :

$$\sigma_{xx}^R = \frac{pR}{4\pi h} \sum_1^7 Q_1 K_1^R, \quad (3.6)$$

$$\sigma_{xy}^R = \frac{pR}{4\pi h} \sum_1^7 Q_1 L_1^R, \quad (3.7)$$

$$\sigma_{yy}^R = \frac{pR}{4\pi h} \sum_1^7 Q_1 M_1^R, \quad (3.8)$$

$$U^R = \frac{pR}{4\pi hE} \left\{ (3-\nu)(1+\nu) \left[ (\sin\alpha_1 - \sin\alpha_2) \ln A + \sin\alpha_2 \ln r_2 - \right. \right. \\ \left. \left. - \sin\alpha_1 \ln r_1 + \sum_1^5 Q_1 N_1^* \right] + (1+\nu)^2 \sum_1^5 Q_1 \bar{N}_1^* \right\} - \bar{U}^R(0,0). \quad (3.9)$$

$$V^R = \frac{pR}{4\pi hE} \left\{ (3-\nu)(1+\nu) \left[ (\cos\alpha_2 - \cos\alpha_1) \ln A - \cos\alpha_2 \ln r_2 + \cos\alpha_1 \ln r_1 + \right. \right. \\ \left. \left. + \sum_1^4 Q_1 T_1^* + (1+\nu)^2 \sum_1^4 Q_1 \bar{T}_1^* \right] - \bar{V}^R(0,0) \right\}; \quad (3.10)$$

2<sup>o</sup> dla punktów okręgu  $x^2 + y^2 = R^2$  z wyjątkiem punktów przyłożenia obciążenia (żuk okręgu zawarty między promieniami o nachyleniu  $\alpha_1, \alpha_2$ ):

$$\sigma_{xx}^R = \frac{pR}{4\pi h} \left[ (1-\nu) \sum_1^2 K_1 q_1 + (3-\nu) \sum_3^4 \bar{K}_1 q_1 - 2q_2 \right], \quad (3.11)$$

$$\sigma_{xy}^R = \frac{pR}{4\pi h} \left[ (1-\nu) \sum_1^2 L_1 q_1 + (3-\nu) \sum_3^4 \bar{L}_1 q_1 \right], \quad (3.12)$$

$$\sigma_{yy}^R = \frac{pR}{4\pi h} \left[ (1-\nu) \sum_1^2 M_1 q_1 + (3-\nu) \sum_3^4 \bar{M}_1 q_1 - 2\nu q_2 \right], \quad (3.13)$$

$$U^R = \frac{pR}{4\pi hE} \left\{ (3-\nu)(1+\nu) \left[ (\sin\alpha_1 - \sin\alpha_2) \ln A + \sin\alpha_2 \ln r_2 - \sin\alpha_1 \ln r_1 \right. \right. \\ \left. \left. + N_3 q_1 \right] - 2(1+\nu)^2 (\bar{N}_2 q_2 + q_4) \right\} - \bar{U}^R(0,0). \quad (3.14)$$

$$V^R = \frac{pR}{4\pi hE} \left\{ (3-\nu)(1+\nu) \left[ (\cos\alpha_2 - \cos\alpha_1) \ln A - \cos\alpha_2 \ln r_2 + \cos\alpha_1 \ln r_1 + \right. \right. \\ \left. \left. + \sum_1^3 T_1 q_1 \right] + (1+\nu)^2 \sum_2^3 \bar{T}_1 q_1 \right\} - \bar{V}^R(0,0); \quad (3.15)$$

3<sup>o</sup> dla punktu  $O(0,0)$

$$\sigma_{xx}^R = -\frac{p}{4\pi h} \left[ (1+\nu)(\alpha_2 - \alpha_1) + \sin 2\alpha_2 - \sin 2\alpha_1 \right], \quad (3.16)$$

$$\sigma_{xy}^R = \frac{p}{4\pi h} \left[ (1+\nu)(\cos^2 \alpha_2 - \cos^2 \alpha_1) - (3-\nu)(\sin^2 \alpha_2 - \sin^2 \alpha_1) \right], \quad (3.17)$$



$$\delta_{yy}^R = \frac{-\bar{D}}{4\pi h} \left[ (1+\nu)(\alpha_2 - \alpha_1) - \sin 2\alpha_2 + \sin 2\alpha_1 \right], \quad (3.18)$$

$$u^R = v^R = 0; \quad (3.19)$$

gdzie:

$$\bar{U}^R(0,0) = \frac{\bar{D}R}{4\pi h E} (3-\nu)(1+\nu)(\sin\alpha_2 - \sin\alpha_1) \ln \frac{R}{A},$$

$$\bar{V}^R(0,0) = \frac{-\bar{D}R}{4\pi h E} (3-\nu)(1+\nu)(\cos\alpha_2 - \cos\alpha_1) \ln \frac{R}{A}.$$

W przypadku obciążenia stycznego (rys. 2.1d) otrzymamy:

1° dla punktów płaszczyzny spełniających warunki

$$x^2 + y^2 \neq R^2 \quad \text{i} \quad x^2 + y^2 \neq 0;$$

$$\delta_{xx}^S = \frac{\bar{D}R}{4\pi h} \sum_1^7 B_1^* Q_1, \quad (3.20)$$

$$\delta_{xy}^S = -\frac{\bar{D}R}{4\pi h} \sum_1^7 C_1^* Q_1, \quad (3.21)$$

$$\delta_{yy}^S = -\frac{\bar{D}R}{4\pi h} \sum_1^7 D_1^* Q_1, \quad (3.22)$$

$$u^S = \frac{\bar{D}R}{4\pi h E} \left\{ (3-\nu)(1+\nu) \left[ (\cos\alpha_2 - \cos\alpha_1) \ln A - \cos\alpha_2 \ln r_2 + \cos\alpha_1 \ln r_1 \right] + 4(1+\nu) \sum_1^3 G_1^* Q_1 \right\} - \bar{u}^S(0,0), \quad (3.23)$$

$$v^S = -\frac{\bar{D}R}{4\pi h E} \left\{ (3-\nu)(1+\nu) \left[ (\sin\alpha_1 - \sin\alpha_2) \ln A + \sin\alpha_2 \ln r_2 - \sin\alpha_1 \ln r_1 \right] + 4(1+\nu) \sum_1^3 H_1^* Q_1 \right\} - \bar{v}^S(0,0), \quad (3.24)$$

2° dla punktów okręgu  $x^2 + y^2 = R^2$ , za wyjątkiem punktów przyłożenia obciążenia:

$$\delta_{xx}^S = \frac{\bar{D}R}{4\pi h} \left[ \sum_y^4 B_1 q_1 - \frac{\nu}{2R} q_1 - 2(1+\nu) \sum_3^4 \bar{B}_1 q_1 \right], \quad (3.25)$$

$$\delta_{xy}^S = -\frac{\bar{D}R}{4\pi h} \left[ (1-\nu) \sum_1^4 C_1 q_1 + 2(1+\nu) \sum_1^4 \bar{C}_1 q_1 \right], \quad (3.26)$$

$$\delta_{yy}^S = -\frac{\overline{PR}}{4\pi h} \left[ \sum_1^4 D_1 q_1 + \frac{\nu}{2R} q_1 - 2(1+\nu) \sum_1^4 \overline{D}_1 q_1 \right], \quad (3.27)$$

$$u^S = \frac{\overline{PR}}{4\pi h E} \left\{ (3-\nu)(1+\nu) \left[ (\cos\alpha_2 - \cos\alpha_1) \ln A - \cos\alpha_2 \ln r_2 + \cos\alpha_1 \ln r_1 + \sum_1^3 G_1 q_1 \right] + (1+\nu)^2 \sum_2^3 \overline{G}_1 q_1 \right\} - u^S(0,0), \quad (3.28)$$

$$v^S = \frac{\overline{PR}}{4\pi h E} \left\{ (3-\nu)(1+\nu) \left[ (\sin\alpha_1 - \sin\alpha_2) \ln A + \sin\alpha_2 \ln r_2 - \sin\alpha_1 \ln r_1 + \sum_1^4 H_1 q_1 \right] + (1+\nu)^2 \sum_2^4 \overline{H}_1 q_1 \right\} - v^S(0,0), \quad (3.29)$$

3<sup>o</sup> dla punktu  $O(0,0)$

$$\delta_{xx}^S = \frac{-\overline{P}}{4\pi h} \left[ 2(\sin^2\alpha_2 - \sin^2\alpha_1) + (1+\nu)(\cos^4\alpha_2 - \cos^4\alpha_1) \right], \quad (3.30)$$

$$\delta_{xy}^S = \frac{P}{2\pi h} (1-\nu)(\sin 2\alpha_2 - \sin 2\alpha_1); \quad (3.21)$$

$$\delta_{yy}^S = \frac{P}{8\pi h} \left[ (3-\nu)(\sin^2\alpha_2 - \sin^2\alpha_1) + (1+\nu)(\cos^2\alpha_2 - \cos^2\alpha_1) \right], \quad (3.32)$$

$$u^S = v^S = 0; \quad (3.33)$$

gdzie:

$$u^S(0,0) = -\frac{\overline{PR}}{4\pi h E} (1+\nu) \left[ (3-\nu) \ln \frac{R}{A} + 1 + \nu \right] (\cos\alpha_2 - \cos\alpha_1),$$

$$v^S(0,0) = -\frac{\overline{PR}}{4\pi h E} (1+\nu) \left[ (3-\nu) \ln \frac{R}{A} + 1 + \nu \right] (\sin\alpha_2 - \sin\alpha_1).$$

Gdzie we wzorach (3.6) do (3.25) oznaczono:

$$\begin{aligned} B_1^* &= B_2^* = D_1^* = D_2^* = -2C_3^* = -\frac{4K_3^*}{(1-\nu)} = -\frac{4M_3^*}{(1-\nu)} = \frac{2L_2^*}{(1-\nu)} \\ &= \frac{2L_2^*}{(1-\nu)} = \frac{4xyR}{r_0^4}, \end{aligned}$$

$$B_3^* = \frac{1}{Rr_0^4} (2R^2d - r_0^4) - \frac{\nu}{2R}.$$



$$B_4^* = D_4^* = -C_5^* = -K_5^* = 2M_5^* = L_4^* = -(3-\nu) \frac{x}{r_0^2},$$

$$B_5^* = D_5^* = C_4^* = K_4^* = -M_4^* = L_5^* = (3-\nu) \frac{y}{r_0^2},$$

$$B_6^* = D_6^* = -L_6^* = \frac{1}{2ar_0^2} (1+\nu)x\sqrt{\Delta}(3y^2-x^2+R^2),$$

$$B_7^* = D_7^* = -L_7^* = \frac{1}{2ar_0^2} (1+\nu)y\sqrt{\Delta}(3x^2-y^2+R^2+4xR),$$

$$D_3^* = \frac{1}{2Rr_0^4} (2dR^2 + r_0^4) + \frac{\nu}{2R},$$

$$C_1^* = C_2^* = \frac{4L_3^*}{(1-\nu)} = \frac{2dR}{r_0^4},$$

$$C_6^* = -K_6^* = M_6^* = \frac{1}{2ar_0^2} (1+\nu)y\sqrt{\Delta}(3x^2-y^2-R^2),$$

$$C_7^* = -K_7^* = M_7^* = \frac{1}{2ar_0^2} \sqrt{\Delta}(3xy^2-x^3-xR^2-2Rd)(1+\nu),$$

$$G_1^* = -4N_3^* = -2T_1^* = -2\bar{T}_1^* = \frac{-\nu m}{Rr_0^2},$$

$$G_2^* = 4\bar{N}_3^* = 2T_2^* = -\bar{T}_2^* = \frac{y\sqrt{\Delta}}{2Rr_0^2},$$

$$G_3^* = -\frac{xR}{2r_0^2},$$

$$H_1^* = 2N_1^* = -2\bar{N}_1^* = 4T_3^* = -\frac{xm}{Rr_0^2},$$

$$H_2^* = N_2^* = -\bar{N}_2^* = -4\bar{T}_3^* = \frac{x\sqrt{\Delta}}{2Rr_0^2},$$

$$H_3^* = \frac{\nu R}{2r_0^2},$$

$$K_1^* = -M_2^* = \frac{1}{r_0^4} (1-\nu)Rd - \frac{1+\nu}{R},$$

$$M_1^* = -K_2^* = \frac{1}{r_0^4} (1-\nu)Rd - \frac{1+\nu}{R},$$

$$B_1 = \frac{1}{2R^3} (4x^2 - 3R^2),$$

$$B_2 = 4C_1 = 8\bar{C}_1 = D_2 = -4K_1 = 4M_1 = 2L_2 = \frac{4xy}{R},$$

$$B_3 = 8\bar{B}_3 = 2C_4 = 8\bar{C}_4 = D_3 = 8\bar{D}_3 = -4\bar{K}_4 = 4\bar{M}_4 = 4\bar{L}_3 = -\frac{4x}{R^2},$$

$$B_4 = 8\bar{B}_4 = -2C_3 = -8\bar{C}_3 = D_4 = 8\bar{D}_4 = 4\bar{K}_3 = -4\bar{M}_3 = 4\bar{L}_4 = \frac{4y}{R^2},$$

$$C_2 = 2\bar{C}_2 = -\frac{2L_1}{(1-\nu)} = \frac{1}{R^3} (y^2 - x^2),$$

$$D_1 = \frac{1}{2R^3} (4x^2 - R^2),$$

$$G_1 = 0.5H_2 = 0.5\bar{H}_2 = -0.5\bar{N}_2 = T_1 = -\frac{x}{2R},$$

$$G_2 = \bar{G}_2 = -2H_1 = -2D_3 = T_2 = -\bar{T}_2 = -\frac{y}{R},$$

$$G_3 = -\bar{G}_3 = H_4 = \bar{H}_4 = T_3 = -\bar{T}_3 = -N_5^* = \bar{N}_5^* = T_4^* = -\bar{T}_4^* = 1,$$

$$H_3 = \bar{H}_3 = N_4^* = \bar{N}_4^* = 0,$$

$$K_2 = -M_2 = \frac{2x^2}{R^3}.$$

Wzory (3.11) do (3.15) ((3.25) do (3.29)) otrzymać można bezpośrednio ze wzorów (3.6) do (3.10) ((3.20) do (3.24)) stosując przejście graniczne przy  $x^2 + y^2 \rightarrow R^2$ .

W podobny sposób, stosując przejście graniczne przy  $x \rightarrow 0$  i  $y \rightarrow 0$  do wzorów (3.6) do (3.10), ((3.20) do (3.24)) otrzymać można wzory (3.16) do (3.19) ((3.30) do (3.33)). Oznacza to, iż funkcje (3.11) do (3.19) ((3.25) do (3.33)) uciągają funkcje (3.6) do (3.10) ((3.20) do (3.24)) w punkcie  $O(0,0)$  oraz w punktach okręgu  $x^2 + y^2 = R^2$  za wyjątkiem punktów, w których przyłożone jest obciążenie.

Korzystając z otrzymanych powyżej wyników pamiętać należy o tym, że funkcja  $Q_2(x, y; R, \alpha_1, \alpha_2)$  jest osobliwa dla  $\alpha_1, \alpha_2 = \pi$ . W punkcie tym należy zatem za wartość funkcji przyjmować jej wartość graniczną przy  $\alpha_1, \alpha_2 \rightarrow \pi$  z prawej lub lewej strony.

Przyjmując we wzorach (3.6) do (3.8), że obciążenie rozłożone jest wzdłuż całego okręgu ( $\alpha_1 = 0, \alpha_2 = \pi$ ) otrzymamy:

$$1^0 \text{ dla } x^2 + y^2 < R^2$$

$$\sigma_{xx}^R = +\sigma_{yy}^R = \frac{-1}{2h} (1+\nu)\rho,$$

$$\sigma_{xy}^R = 0,$$

$$u^R = -\frac{p}{2hE} (1-\nu^2)x,$$

$$v^R = -\frac{p}{2hE} (1-\nu^2)y;$$

2° dla  $x^2 + y^2 > R^2$

$$\sigma_{xx}^R = -\sigma_{yy}^R = \frac{1}{2r_0^2 h} (1-\nu)pR^2 d,$$

$$\sigma_{xy}^R = \frac{1}{hr_0^4} (1-\nu)pR^2 xy,$$

$$u^R = -\frac{p}{2hE} (1-\nu^2) \frac{R^2 x}{r_0^2}; \quad v^R = -\frac{p}{2hE} (1-\nu^2) \frac{R^2 y}{r_0^2}$$

s więc wyrażenia identyczne, jakie otrzymał F. ANDERMANN w pracy [1].

Sun rozkładów dla obciążen wg rys. 2.1b i c (wzory (3.1) do (3.19)) daje wyrażenie na ekwiwalentne tarczoje naprężenie i wektore przesłszczenia dla tarczy sprężnej odcinkiem kołowym kabla:

$$\sigma_{xx} = \sigma_{xx}^b + \sigma_{xx}^R, \quad (3.34)$$

$$\sigma_{xy} = \sigma_{xy}^b + \sigma_{xy}^R, \quad (3.35)$$

$$\sigma_{yy} = \sigma_{yy}^b + \sigma_{yy}^R, \quad (3.36)$$

$$u = u^b + u^R, \quad (3.37)$$

$$v = v^b + v^R. \quad (3.38)$$

Wzory (3.20) do (3.33) otrzymane dla obciążenia stycznego do całej kabla pozwalają uwzględnić wpływ tarcia kabla o materiał tarczy na stan naprężenia w tarczy nieograniczonej.

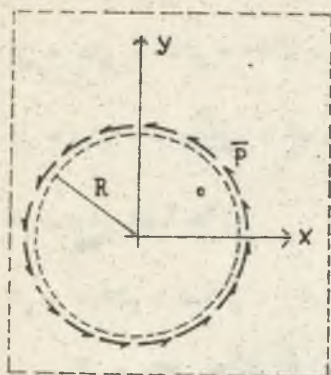
#### 4. Zakończenie

Rozpatrzmy na zakończenie dwa przypadki obciążenia tarczy nieograniczonej pokazane na rys. 4.1a i b.

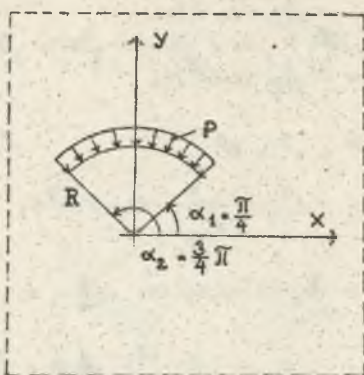
Dla obciążenia wg rys. 4.1a wzory opisujące stan naprężeń i przemieszczeń otrzymane ze wzorów (3.20) do (3.24), podstawiając ze  $\alpha_1 = 0$  i  $\alpha_2 = 2\pi$  i uwzględniając osobliwość funkcji  $Q_2$  w punkcie  $\alpha = \pi$



a)



b)



Rys. 4.1

Otrzymamy:

1° dla  $x^2 + y^2 > R^2$ 

$$\sigma_{yy}^S = \sigma_{xx}^S = \frac{2\bar{p}R^2 xy}{hr_0^4},$$

$$\sigma_{xy}^S = -\frac{\bar{p}R^2 d}{hr_0^4},$$

$$u^S = -\frac{\bar{p}}{hE} (1+\nu) \frac{y}{r_0},$$

$$v^S = \frac{\bar{p}}{hE} (1+\nu) \frac{x}{r_0},$$

2° dla  $x^2 + y^2 < R^2$ 

$$\sigma_{xx}^S = \sigma_{xy}^S = \sigma_{yy}^S = 0,$$

$$u^S = -\frac{\bar{p}}{hE} (1+\nu) y,$$

$$v^S = \frac{\bar{p}}{hE} (1+\nu) x.$$

We współrzędnych biegunowych wzory na naprężenia przyjmą postać:

1° dla  $x^2 + y^2 > R^2$ 

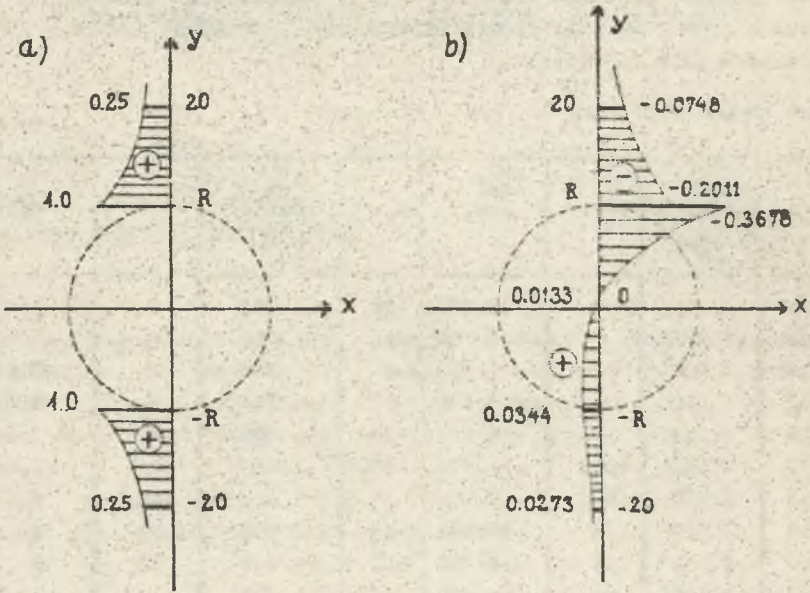
$$\sigma_{r_0 r_0}^S = \sigma_{y y}^S = 0,$$

$$\sigma_{r_0 y}^S = -\frac{\bar{p}R^2}{hr_0^2},$$

$z^0$  dla  $x^2 + y^2 < R^2$

$\sigma_{r_0 r_0}^S = \sigma_{r_0 \phi}^S = \sigma_{\phi \phi}^S = 0.$

Na rys. 4.2a pokazano wykres naprężeń  $\sigma_{xy}^S$  w przekroju  $x = 0$ , a w tabelicy 4.1 podano wartości tych naprężeń.



Rys. 4.2

Tabela 4.1

$\epsilon = 1.0 \cdot 10^{-5}$

$y_1$	$\sigma_{xy}^S$ mnożnik $\frac{p}{h}$	$y_1$	$\sigma_{xy}^S$ mnożnik $\frac{p}{h}$
-20	0.250	$-(10-\epsilon)$	0.000
-19	0.277	-9	0.000
-18	0.309	-8	0.000
-17	0.346	-7	0.000
-16	0.391	-6	0.000
-15	0.444	-5	0.000
-14	0.510	-4	0.000
-13	0.592	-3	0.000
-12	0.694	-2	0.000
-11	0.826	-1	0.000
$-(10+)$	1.000	0	0.000



Dla obciążenia wg rys. 4.1b wzory na naprężenia i przemieszczenia są identyczne jak wzory (3.6) do (3.19) dla  $\alpha_1 = 0.25\pi$ , i  $\alpha_2 = 0.75\pi$ .

W tabelicy 4.2 podano wartości naprężeń  $\sigma_{xx}^R$ ,  $\sigma_{yy}^R$  dla tego przypadku obciążenia w przekroju leżącym w osi symetrii. Wykres naprężeń  $\sigma_{xx}^R$  w przekroju  $x = 0$  pokazano na rys. 4.2b.

Do obliczeń przyjęto  $\nu = \frac{1}{6}$ ,  $R = 10$  m. Obliczenia wykonano na maszynie cyfrowej ODRA-1204, dla której opracowano odpowiednie programy na podstawie wzorów (3.6) do (3.33).

Tabela 4.2

$y_1$	$\sigma_{xx}^R$ mnoznik $\frac{P}{100 h}$	$y_1$	$\sigma_{xx}^R$ c.d.	$y_1$	$\sigma_{yy}^R$ mnoznik $\frac{P}{10 h}$	$y_1$	$\sigma_{yy}^R$ c.d.
-20	2.728	5	-11.073	-20	-1.221	5	-3.667
-19	2.796	6	-15.859	-19	-1.263	6	-3.689
-18	2.867	7	-21.204	-18	-1.307	7	-3.675
-17	2.936	8	-26.729	-17	-1.354	8	-3.545
-16	3.013	9	-32.025	-16	-1.405	9	-3.619
-15	3.088	10- $\epsilon$	-36.776	-15	-1.460	10- $\epsilon$	-3.614
-14	3.163	10+ $\epsilon$	-20.109	-14	-1.518	10+ $\epsilon$	6.385
-13	3.238	11	-16.926	-13	-1.581	11	5.642
-12	3.311	12	-14.757	-12	-1.649	12	5.048
-11	3.380	13	-13.160	-11	-1.723	13	4.558
-10	3.443	14	-11.967	-10	-1.802	14	4.145
-9	3.495	15	-10.875	-9	-1.888	15	3.792
-8	3.532	16	-10.000	-8	-1.982	16	3.487
-7	3.546	17	-9.243	-7	-2.083	17	3.222
-6	3.527	18	-8.581	-6	-2.194	18	2.990
-5	3.460	19	-7.996	-5	-2.313	19	2.786
-4	3.326	20	-7.476	-4	-2.443	20	2.606
-3	3.095			-3	-2.582		
-2	2.727			-2	-2.731		
-1	2.165			-1	-2.888		
0	1.332			0	-3.040		
1	0.125			1	-3.211		
2	-1.583			2	-3.364		
3	-3.440			3	-3.499		
4	-7.079			4	-3.603		

$$\epsilon = 1.0 \cdot 10^{-5}$$

Omówione w niniejszej pracy przypadki obciążenia tarczy nieorganicznej stanowiąc mogą podstawę do rozwiązania problemu rozkładu naprężeń i przemieszczeń w belce-ścianie obciążonej oddziaływaniem sprężającego kabla zakrzywionego.



## LITERATURA

- [1] Andermann F.: Tarcze prostokątne - obliczenia statyczne. Arkady, Warszawa 1966.
- [2] Fedorowicz J.: Izotropowa tarcza nieograniczona obciążona wzdłuż łuku kołowego. Zeszyty Naukowe Pol. Śl. Budownictwo z. 59, 1983.
- [3] Łukasiewicz S.: Obciążenia skupione w płytach, tarczach i powłokach. I PPN PAN, Warszawa 1976.
- [4] Nowacki W.: Mechanika budowli, t. III. PWN, Warszawa 1966.

Recenzent: Prof. dr hab. inż. Roman Janiczek

ИЗОТРОПНАЯ БЕСКОНЕЧНАЯ ПЛАСТИНА  
ПОД НАГРУЗКОЙ ЗАКРУЧЕННОГО КАБЕЛЯ

Р е з ю м е

В работе рассматривается изотропная бесконечная пластина, подвержена действию напряженного закрученного кабеля. Приведены окончательные формулы для компонентов тензора напряжений и вектора перемещения в случае нагружения бесконечной пластины отрезком кабеля кольцевой формы.

ISOTROPIC DISC PRESTRESSED BY A CURVED CABLE

S u m m a r y

An isotropic infinite disc loaded by a prestressed curved cable is considered. The results in the closed form are presented in the case of an infinite disc prestressed by a curved cable.